

ECMA

Justine De Sousa Natalia Jorquera

Le CNAM
Institute Polytechnique de Paris

11 février 2022



le cnam

- 1 Partie Théorique
- 2 Méthodes de Résolution
- 3 Comparaison des Résultats
- 4 Conclusion

$x_{ij} = 1$ ssi l'arc (ij) est emprunté

$y_i = 1$ ssi le sommet i est emprunté

$$\left\{ \begin{array}{l} \min_x \sum_{ij \in A} d_{ij} \cdot x_{ij} \\ \text{s.c. :} \\ \sum_{i \in V} p_i \cdot y_i \leq S \\ \sum_{i:ij \in A} x_{ij} = \sum_{i:ji \in A} x_{ji} \quad \forall j \in V \setminus \{s, t\} \\ \sum_{j:sj \in A} x_{s,j} = 1 = \sum_{i:it \in A} x_{i,t} \\ \sum_{j:ij \in A} x_{ij} = y_i \quad \forall i \in V \setminus \{s\} \\ \sum_{j:ji \in A} x_{ji} = y_i \quad \forall i \in V \setminus \{t\} \\ x_{ij} \in \{0, 1\} \quad \forall ij \in A \\ y_i \in \{0, 1\} \quad \forall i \in V \end{array} \right.$$

$$\left\{ \begin{array}{l} \min_{(x,y)} \max_{\delta_{ij}^1} \sum_{ij \in A} d_{ij} \cdot (1 + \delta_{ij}^1) \cdot x_{ij} \\ \text{s.c. :} \\ \left. \begin{array}{l} \sum_{i:ij \in A} x_{ij} = \sum_{i:ji \in A} x_{ji} \quad \forall j \in V \setminus \{s, t\}, \\ \sum_{j \in V} x_{sj} = \sum_{i \in V} x_{it} = 1, \\ \sum_{j:ij \in A} x_{ij} = y_i \quad \forall i \in V \setminus \{s\}, \\ \sum_{j:ji \in A} x_{ji} = y_i \quad \forall i \in V \setminus \{t\}, \\ x_{ij} \in \{0, 1\} \quad \forall (ij) \in A, \quad y_i \in \{0, 1\} \quad \forall i \in V, \end{array} \right\} \mathcal{X}^{\text{comb}} \\ \left. \begin{array}{l} \sum_{ij \in A} \delta_{ij}^1 \leq d_1, \\ \delta_{ij}^1 \in [0, D_{ij}] \quad \forall (i, j) \in A, \\ \sum_{i \in V} (p_i + \delta_i^2 \cdot \hat{p}_i) \cdot y_i \leq S, \\ \sum_{i \in V} \delta_i^2 \leq d_2, \\ \delta_i^2 \in [0, 2] \quad \forall i \in V, \end{array} \right\} \begin{array}{l} \mathcal{U}^1 \\ \mathcal{U}^2 \end{array} \end{array} \right\} \mathcal{X}^{\text{num}}$$

- 1 Partie Théorique
- 2 Méthodes de Résolution
 - Dualisation
 - Plans Coupants
 - Branch & Cut
 - Heuristique
- 3 Comparaison des Résultats
- 4 Conclusion

$$\left\{ \begin{array}{l}
 \min_{(x,y),(\alpha,\beta)} \sum_{ij \in A} d_{ij} \cdot x_{ij} + \sum_{ij \in A} D_{ij} \cdot \beta_{ij} + d_1 \cdot \alpha \\
 \text{s.c. :} \\
 \left. \begin{array}{l}
 \sum_{i:ij \in A} x_{ij} = \sum_{i:ji \in A} x_{ji} \quad \forall j \in V \setminus \{s, t\}, \\
 \sum_{j \in V} x_{sj} = 1 = \sum_{i \in V} x_{it}, \\
 \sum_{j:ij \in A} x_{ij} = y_i \quad \forall i \in V \setminus \{s\}, \\
 \sum_{j:ji \in A} x_{ji} = y_i \quad \forall i \in V \setminus \{t\},
 \end{array} \right\} \mathcal{X}^{comb} \\
 \left. \begin{array}{l}
 \alpha + \beta_{ij} \geq d_{ij} \cdot x_{ij} \quad \forall ij \in A \\
 \alpha \geq 0, \beta_{ij} \geq 0 \quad \forall ij \in A \\
 \sum_{i \in V} p_i \cdot y_i + \sum_{i \in V} 2\varepsilon_i + d_2 \cdot \gamma \leq S, \\
 \gamma + \varepsilon_i \geq \hat{p}_i \cdot y_i \quad \forall i \in V \\
 \gamma \geq 0, \varepsilon_i \geq 0 \quad \forall i \in V
 \end{array} \right\} \left. \begin{array}{l} \mathcal{U}^1 \\ \mathcal{U}^2 \end{array} \right\} \mathcal{X}^{num}, \\
 x_{ij} \in \{0, 1\} \quad \forall (ij) \in A, \\
 y_i \in \{0, 1\} \quad \forall i \in V,
 \end{array} \right\}$$

Entrées : Graphe G, Sommet départ s, Sommet arrivée t, problème maître (MP), sous-problème (SPo,SP2), données de robustesse

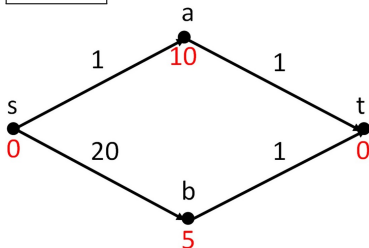
```
1 Initialiser  $\mathcal{U}^{1*} = \emptyset$   $\mathcal{U}^{2*} = \emptyset$ , SPoValue=0, SP2=0, robustValue=0,  $\hat{x}_{ij} = 0 \forall i, j \in A$ ,  $\hat{y}_i = 0 \forall i \in V$ ,  
    $\hat{\delta}_{ij}^1 = 0 \forall i, j \in A$ ,  $\hat{\delta}_i^2 = 0 \forall i \in V$   
2 tant que SPoValue>robustValue // SP2Value>S faire  
3   si SPoValue>robustValue alors  
4      $(MP) \leftarrow \sum_{(ij) \in A} d_{ij} \cdot (1 + \hat{\delta}_{ij}^1) \cdot x_{ij} \leq z$   
5   si SP2Value>S alors  
6      $(MP) \leftarrow \sum_{i \in V} (p_i + \hat{\delta}_i^2 \cdot \hat{p}_i) \cdot y_i \leq S$   
7   Résoudre (MP)  
8   robustValue = z  
9    $\hat{x}_{ij} = x_{ij}^* \forall i, j \in A$   
10   $\hat{y}_i = y_i^* \forall i \in V$   
11  Résoudre (SPo)  
12  SPoValue =  $\sum_{(ij) \in A} d_{ij} \cdot (1 + \hat{\delta}_{ij}^1) \cdot x_{ij}^*$   
13   $\hat{\delta}_{ij}^1 = \delta_{ij}^{1*} \forall i, j \in A$   
14  Résoudre (SP2)  
15  SP2Value =  $\sum_{i \in V} (p_i + \hat{\delta}_i^2 \cdot \hat{p}_i) \cdot y_i^*$   
16   $\hat{\delta}_i^2 = \delta_i^{2*} \forall i \in V$ 
```

- à chaque nœud de la résolution de branch & Bound, on vérifie si les conditions d'optimalité sont remplies :
 - $\sum_{(ij) \in A} d_{ij} \cdot (1 + \delta_{ij}^{1*}) \cdot x_{ij}^* \leq z^*$
 - $\sum_{i \in V} (p_i + \delta_i^{2*} \cdot \hat{p}_i) \cdot y_i^* \leq S$
- Si les conditions d'optimalité ne sont pas remplies, les contraintes suivantes sont ajoutées, et la résolution se poursuit :
 - $\sum_{(ij) \in A} d_{ij} \cdot (1 + \hat{\delta}_{ij}^1) \cdot x_{ij} \leq z$
 - $\sum_{i \in V} (p_i + \hat{\delta}_i^2 \cdot \hat{p}_i) \cdot y_i \leq S$
- Si les conditions d'optimalité sont remplies, il s'arrête.

Heuristique : l'algorithme A^{*}

```
1 Initialiser closedList à vide;
2 Initialiser openList à vide;
3 Ajouter s à openList;
4 tant que openList non vide faire
5     Retirer le sommet u de openList tel que f(u) soit le plus petit;
6     si u == t alors
7         | Retourner le chemin;
8     sinon
9         | Ajouter u à closedList;
10    pour chaque successeur i de u faire
11        h(i) : estimation de la distance de i à t;
12        g_tmp ← g(u) + arc(u, i);
13        f_tmp ← g(u) + h(u);
14        si i est déjà dans openList avec un meilleur f(i) alors
15            | On passe au voisin suivant;
16        si i est déjà dans closedList avec un meilleur f(i) alors
17            | On passe au voisin suivant;
18        parent(i) ← u;
19        g(i) ← g_tmp;
20        f(i) ← f_tmp;
21        openList ← openList ∪ i;
22        closedList ← closedList \ i;
23    closedList ← closedList \ u;
```

$S = 10$



Reconstitution du chemin :
[s, a, t] de valeur 12

$S = 9$

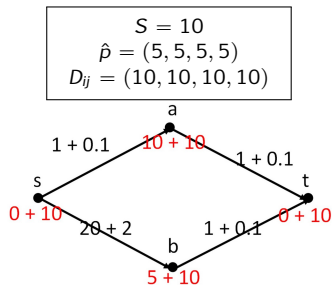
a non ajouté à openList
chemin [s, b, t] de valeur 26

openList = [(s,0)]

- itération 1 : currNode = s
 - openList = [(a,11), (b,20)]
 - closedList = [s]
 - parents = [(a,s), (b,s)]
- itération 2 : currNode = a
 - openList = [(b,20), (t,12)]
 - closedList = [s, a]
 - parents = [(a,s), (b,s), (t,a)]
- itération 3 : currNode = t
 - STOP

$S = 4$

a,b non ajoutés à openList
openList vide : l'algo s'arrête



Reconstitution du
chemin : [s, a, t]

openList = [(s,0)]

- itération 1 : currNode = s
 - openList = [(a,31.1), (b,42)]
 - closedList = [s]
 - parents = [(a,s), (b,s)]
- itération 2 : currNode = a
 - openList = [(b,42), (t,41.2)]
 - closedList = [s, a]
 - parents = [(a,s), (b,s), (t,a)]
- itération 3 : currNode = t
 - STOP

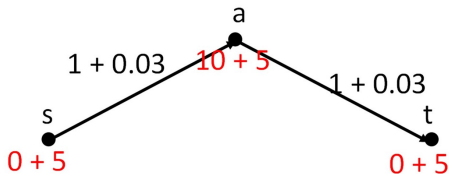
Algorithme 1 : Post-traitement

```

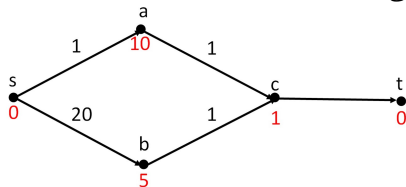
1 si  $\sum_{i \in P} 2 * \hat{p}_i > d_2$  alors
2   Trouver  $(\delta_i)_{i \in P}^2 = \arg \max \left\{ \sum_{i \in P} p_i + \delta_i^2 \hat{p}_i \mid \sum_{i \in P} \delta_i^2 \leq d_2, \forall i \in P \delta_i^2 \leq 2 \right\}$ 
3 fin
4 si  $\sum_{(ij) \in P} D_{ij} > d_1$  alors
5   Trouver
6    $(\delta_{ij})_{(ij) \in P}^1 = \arg \max \left\{ \sum_{(ij) \in P} d_{ij}(1 + \delta_{ij}^1) \mid \sum_{ij} \delta_{ij}^1 \leq d_1, \forall (ij) \in P \delta_{ij}^1 \leq D_{ij} \right\}$ 
7 fin
    
```

$$d_1 = 10$$

$$d_2 = 6$$



- Si solution non réalisable : l'algorithme s'arrête



- Recherche de voisinages ?

- 1 Partie Théorique
- 2 Méthodes de Résolution
- 3 Comparaison des Résultats**
- 4 Conclusion

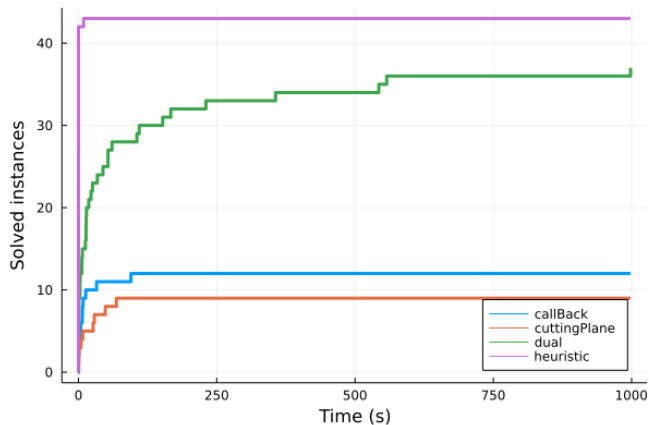


Figure 1 – Diagramme de performance des 4 méthodes utilisées

Comparaison des Résultats

Instance	callBack		cuttingPlane		dual		heuristic		PR
	Temps (s)	GAP	Temps (s)	GAP	Temps (s)	GAP	Temps (s)	GAP	
20_BAY	0.39	0.0%	1.4	0.0%	0.08	0.0%	0.0	6.66%	0.27%
20_COL	0.18	0.0%	0.7	0.0%	0.09	0.0%	0.0	0.52%	0.45%
20_NY	0.1	0.0%	0.44	0.0%	0.08	0.0%	0.0	0.48%	1.73%
40_BAY	2.05	0.0%	7.86	0.0%	0.32	0.0%	0.0	1.69%	1.02%
40_NY	3.44	0.0%	68.62	0.0%	0.4	0.0%	0.0	0.4%	1.83%
40_COL	7.31	6.65%	100.42	0.0%	0.62	0.0%	0.0	1.66%	0.28%
60_COL	4.01	0.0%	4.71	0.0%	0.8	0.0%	0.0	11.22%	3.61%
60_NY	8.43	0.0%	48.63	0.0%	0.93	0.0%	0.0	1.09%	2.59%
60_BAY	6.9	0.0%	28.83	0.0%	0.88	0.0%	0.0	18.64%	3.64%
80_NY	94.88	5.91%	101.45	0.0%	3.15	0.0%	0.0	7.11%	2.39%
80_BAY	32.81	3.56%	100.34	0.0%	2.72	0.0%	0.0	4.56%	1.14%
80_COL	13.08	0.0%	26.59	0.0%	2.54	0.0%	0.0	1.45%	1.55%
100_NY	100.43	100%	104.11	0.0%	6.02	0.0%	0.0	100%	4.21%
100_BAY	100.87	100%	101.41	0.0%	6.32	0.0%	9.32	10.67%	1.02%
100_COL	100.42	100%	103.92	0.0%	7.15	0.0%	0.0	6.9%	4.3%

- 1 Partie Théorique
- 2 Méthodes de Résolution
- 3 Comparaison des Résultats
- 4 Conclusion

- Le problème du plus court chemin robuste a été modélisé mathématiquement et quatre méthodes de résolution ont été implémentées
- Nous soulignons la rapidité des heuristiques utilisées, ainsi que l'efficacité dans de petites instances des méthodes exactes.
- Reste ouvert : utiliser un mélange de ces méthodes pour augmenter la vitesse, l'étude de la modélisation mathématique, entre autres.

Merci de votre attention !